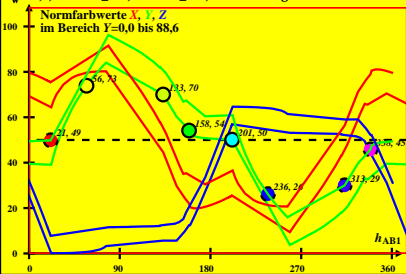
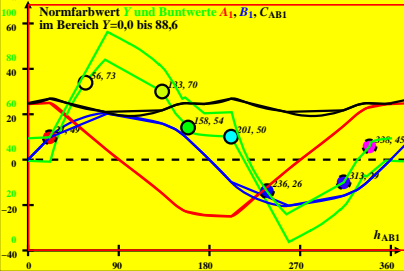


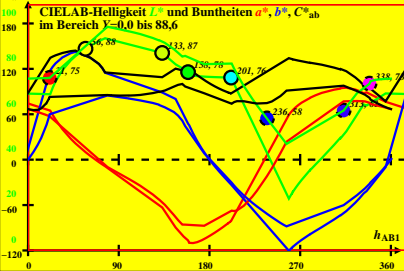
CIE-P40-Daten von -Ostwald-Farben von maximalem Buntwert C_{AB}
 $Y_w=88,6$, $Y_m=520_770$, $B_m=380_520$, 2 Berechnungsmethoden



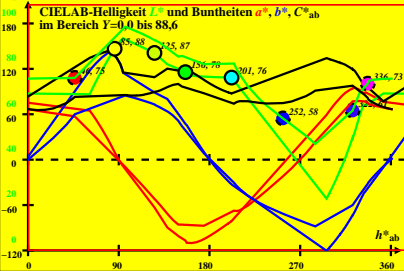
CIE-P40-Daten von -Ostwald-Farben von maximalem Buntwert C_{AB}
 $Y_w=88,6, Y_m=520_770, B_m=380_520, 2$ Berechnungsmethoden



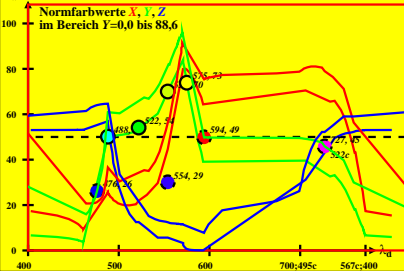
CIE-P40-Daten von -Ostwald-Farben von maximalem Buntwert C_{AB}
 $Y_w=88,6, Y_m=520_770, B_m=380_520, 2$ Berechnungsmethoden



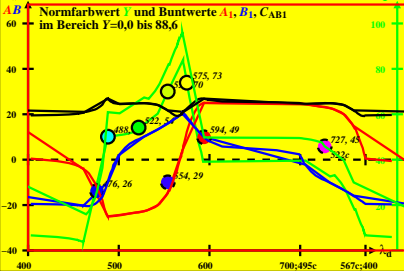
CIE-P40-Daten von -Ostwald-Farben von maximalem Buntwert C_{AB}
 $Y_w=88,6, Y_m=520_770, B_m=380_520, 2$ Berechnungsmethoden



CIE-P40-Daten von -Ostwald-Farben von maximalem Buntwert C_{AB}
 $Y_w=88,6$, $Y_m=520_770$, $B_m=380_520$, 2 Berechnungsmethoden

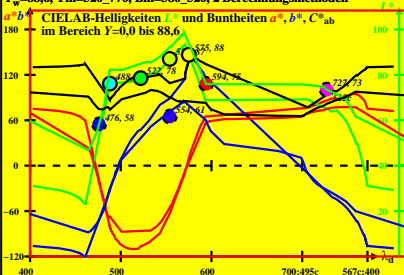


CIE-P40-Daten von -Ostwald-Farben von maximalem Buntwert C_{AB}
 $Y_w=88,6, Y_m=520_770, B_m=380_520, 2$ Berechnungsmethoden



**CIE-P40-Daten von -Ostwald-Farben von maximalem Buntwert C_{AB}
 $Y_w=88,6$, $Y_m=520_770$, $B_m=380_520$, 2 Berechnungsmethoden**

a^*b^* CIELAB-Helligkeiten L^* und Buntheiten a^* , b^* , C^*_{ab}
 im Bereich $Y=0,0$ bis $88,6$



CIE-P40-Daten von -Ostwald-Farben von maximalem Buntwert C_{AB}
 $Y_w=88,6$, $Y_m=520_770$, $B_m=380_520$, 2 Berechnungsmethoden

ab Normfarbwert Y und Farbarten a_1 , b_1 , c_{abl}
 im Bereich $Y=0,0$ bis $88,6$

